

01,11

Индукцированные флуктуациями фазовые переходы и скирмионы в сильно коррелированных $\text{Fe}_{1-x}\text{Co}_x\text{Si}$ с нарушенной кристаллической структурой типа B20

© А. А. Повзнер, А.Г. Волков, Т.А. Ноговицына, С.А. Бессонов

Уральский федеральный университет им. первого Президента России Б.Н.Ельцина, Екатеринбург, Россия

E-mail: a.a.povzner@urfu.ru

Поступила в Редакцию 22 октября 2020 г.

В окончательной редакции 22 октября 2020 г.

Принята к публикации 28 октября 2020 г.

В рамках спин-флуктуационной теории и с учетом результатов LDA+U+SO расчетов плотности электронных состояний рассматриваются концентрационные и температурные переходы в сильно коррелированных сплавах $\text{Fe}_{1-x}\text{Co}_x\text{Si}$ с взаимодействием Дзялошинского–Мория (ДМ). Показано, что концентрационные переходы порядок–порядок с изменением знака левой спиновой киральности (при $x < 0.2$) на правую (при $x \leq 0.2x < 0.65$), а при $x \geq 0.65$ вновь на левую, связаны с изменением знака параметра межмодового взаимодействия. При этом указано, что в области составов $\text{Fe}_{1-x}\text{Co}_x\text{Si}$ с $0.2 \leq x < 0.65$ возникают затянутые по температуре фазовые переходы первого рода, сопровождаемые возникновением промежуточной температурной области спинового ближнего порядка с нескомпенсированной локальной намагниченностью и ДМ-взаимодействием. Во внешнем магнитном поле в этой температурной области при $0.2 \leq x < 0.65$ возникают скирмионные микроструктуры. При $x = 0.65$ параметр межмодового взаимодействия становится равным нулю, дальний порядок становится ферромагнитным (т.к. из эксперимента следует компенсация ДМ-взаимодействия). Вместо затянутого перехода первого рода, при $x = 0.65$ возникает температурный переход второго рода. Построенные $(h-T)$ -диаграммы магнитных состояний $\text{Fe}_{1-x}\text{Co}_x\text{Si}$ согласуются с экспериментом.

Ключевые слова: геликоидальный ферромагнетизм, киральность, спиновые флуктуации, электронная и кристаллическая структура, скирмионы.

DOI: 10.21883/FTT.2021.03.50579.227

1. Введение

Моносилициды и моногерманиды 3d-переходных металлов с нарушенной вследствие потери инверсной симметрии кубической структурой B20, такие как MnSi [1], $\text{Fe}_{1-x}\text{Co}_x\text{Si}$ [2,3] и FeGe [4], относятся к группе веществ, в которых ДМ-взаимодействие приводит к спиральным спиновым структурам с фиксированной киральностью. В этих материалах, при фазовых переходах, наблюдается промежуточная (между геликоидальной и парамагнитной фазами) область спинового ближнего порядка, в которой реализуются флуктуации спирали, а во внешнем магнитном поле могут возникать скирмионы.

В MnSi и $\text{Fe}_{1-x}\text{Mn}_x\text{Si}$ с левой атомной и магнитной киральностью, наблюдаются фазовые переходы, приводящие к возникновению левокиральных скирмионов связанных с потерей устойчивости ферромагнетизма, вследствие подавления нулевых спиновых флуктуаций при заполнении сильно вырожденных электронных e_g -состояний в системе сильно коррелированных электронов с хаббардовским и гундовским внутриатомным взаимодействием. При этом оказывается, что энергетическое расстояние от уровня Ферми до области запрещенных энергий, сравнимо или меньше флуктуаций энергий эффективного обменного взаимодействий, что

приводит к переходу первого рода, сопровождаемому скачкообразным подавлением нулевых спиновых флуктуаций [5].

В случае сильно коррелированных сплавов $\text{Fe}_{1-x}\text{Co}_x\text{Si}$ [6], $\text{Mn}_{1-x}\text{Fe}_x\text{Ge}$ [7] и $\text{Fe}_{1-x}\text{Co}_x\text{Ge}$ [8] и др. имеют место заметные концентрационные эффекты изменения кристаллического строения, сопровождающиеся изменением знака кристаллографической и спиновой киральности. Так, при рентгеновских и нейтронографических исследованиях $\text{Fe}_{1-x}\text{Co}_x\text{Si}$ [3] фиксируются различие знаков спиновой и кристаллографической киральности при $x < 0.65$, а также скачкообразное изменение их знаков с заменой частных позиций атомов кремния на частные позиции атомов металла при концентрации $x = 0.2$. В „точке“ с $x = 0.65$ параметр ДМ-взаимодействия обращается в нуль [3], а при $x \geq 0.65$ спиновая киральность в $\text{Fe}_{1-x}\text{Co}_x\text{Si}$ опять меняет знак [3]. Род температурных фазовых переходов с формированием во внешнем магнитном поле скирмионных микроструктур остается окончательно не установленным [9].

В сплавах $\text{Fe}_{1-x}\text{Co}_x\text{Si}$, уровень Ферми лежит в верхней зоне невырожденных t_{0g} -состояний, а нулевые флуктуации в широком диапазоне x геликоидального ферромагнетизма (от $x = 0.05$ до 0.8) становятся значительно

слабее концентрационных [10]. Энергетическое „расстояние“ от уровня Ферми до запрещенной зоны, в этой области, заметно превышает энергии флуктуаций обменного взаимодействия и скачкообразного изменения концентрационных флуктуаций не должно возникать.

В настоящей работе на основе полученного функционала свободной энергии для геликоидальных ферромагнетиков с взаимодействием Дзялошинского–Мория (ДМ) [11], исследуются индуцированные концентрационными и температурными флуктуациями фазовые переходы. Показывается, что при концентрационном переходе порядок–порядок с изменением знака параметра взаимодействия мод спиновой плотности в функционале свободной энергии, возникает смена знака спиновой киральности. Обсуждаются причины возникновения скирмионов в геликоидальных ферромагнетиках $\text{Fe}_{1-x}\text{Co}_x\text{Si}$ с ДМ-взаимодействием в рамках представлений о зятых по температуре фазовых переходах первого рода.

2. Модель

Рассмотрим сильно коррелированную электронную систему киральных магнетиков $\text{Fe}_{1-x}\text{Co}_x\text{Si}$ с гамильтонианом, учитывающим энергию зонного движения, внутриатомные кулоновские спиновые и зарядовые корреляции, с учетом различия внутриатомных и кулоновских взаимодействий на узлах занятых атомами Fe на Co. Из *ab initio* расчетов электронной структуры сплавов $\text{Fe}_{1-x}\text{Co}_x\text{Si}$ (рис. 1), следует, что во всем интервале концентраций моносилицида кобальта, уровень Ферми находится в верхней энергетической зоне, сформированной преимущественно t_{0g} -состояниями, в которой орбитальным вырождением и хундовским взаимодействием можно пренебречь. На этом основании, для расчетов используем гамильтониан не вырожденной модели Хаббарда [12]:

$$H = H_0 + \delta H_{\text{int}}, \quad (1)$$

где $H_0 = \sum_{\mathbf{k}, \sigma} \varepsilon_{\mathbf{k}, \sigma} a_{\mathbf{k}, \sigma}^+ a_{\mathbf{k}, \sigma}$ — гамильтониан зонного движения сильно коррелированных d -электронов в t_0 -орбитальном состоянии в однородном магнитном поле $\mathbf{h} = (0, 0, h^{(z)})$, $a_{\mathbf{k}, \sigma}^{(+)}(a_{\mathbf{k}, \sigma})$ — оператор рождения (уничтожения) электрона в t_0 -зоне, \mathbf{k} — вектор квазиимпульса, $\sigma (= \pm 1)$ — спиновый индекс, $\varepsilon_{\mathbf{k}, \sigma} = \varepsilon_{\mathbf{k}}^{(\text{LDA})} + \sigma h^{(z)}$, $h^{(z)}$ — z -проекция однородного магнитного поля (\mathbf{h}), выраженного в единицах два магнетона Бора, $\varepsilon_{\mathbf{k}}^{(\text{LDA})}$ — электронный спектр d -электронов в t_0 -орбитальном состоянии, рассчитанный в LDA+U+SO – приближении;

$$\begin{aligned} \sigma \mathcal{H}_{\text{int}} = & (U_{\text{Fe}} - U_{\text{Co}}) \sum_{\nu} \delta p_{\nu} \sum_{\sigma} \langle n_{\sigma} \rangle_0 \delta n_{\nu} / 2 \\ & - \sum_{\nu} \left(U_{\text{Fe}}(1 - p_{\nu}) + U_{\text{Co}} p_{\nu} \right) \left[(S_{\nu}^{(z)})^2 - (\delta n_{\nu})^2 / 4 \right] \quad (2) \end{aligned}$$

— поправка, включающая в себя флуктуации электронной плотности, которые обусловлены межэлектрон-

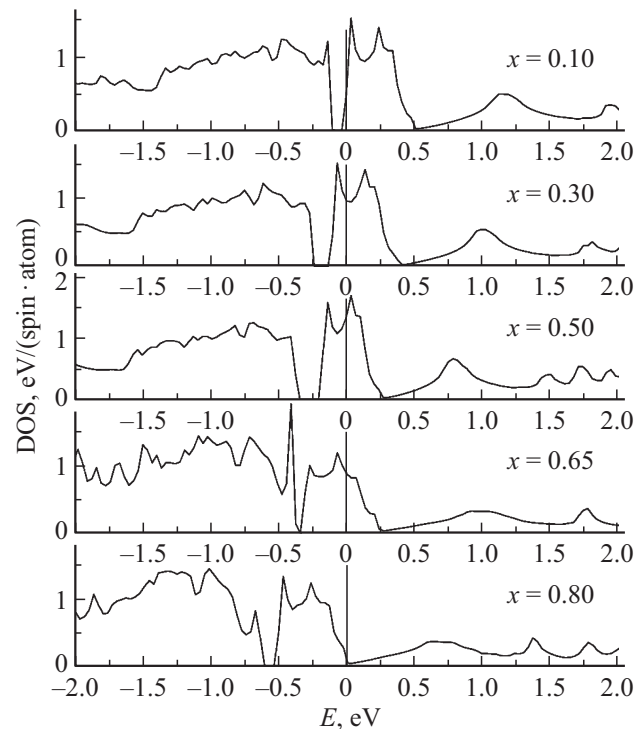


Рис. 1. Плотность электронных состояний сплавов $\text{Fe}_{1-x}\text{Co}_x\text{Si}$ с различной концентрацией кобальта (x). Положение уровня Ферми совпадает с началом отсчета энергии. Параметры хаббардовского взаимодействия задавались в приближении виртуального кристалла: $U = (1 - x)U_{\text{Fe}} + xU_{\text{Co}}$, $U_{\text{Co}} = 2.4 \text{ eV}$, $U_{\text{Fe}} = 1.2 \text{ eV}$, x — концентрация кобальта.

ными корреляциями и различием параметров хаббардовского взаимодействия на узлах, занятых атомами кобальта или железа (U_{Co} и U_{Fe} — соответственно); $\delta p_{\nu} = p_{\nu} - p$, p — концентрация атомов кобальта; $p_{\nu}(p_{\nu}^2 = p_{\nu})$ — проекционный оператор, который может принимать значения 0 на узле, занятом железом, и 1, если узел занят кобальтом; $n_{\nu, \sigma} = a_{\nu, \sigma}^+ a_{\nu, \sigma}$, $S_{\nu}^{(z)} = \sum_{\sigma} \sigma n_{\nu, \sigma} / 2$, $\delta n_{\nu} = n_{\nu} - \sum_{\sigma} \langle n_{\sigma} \rangle_0$, $n_{\nu} = \sum_{\sigma} n_{\nu, \sigma}$, $\langle n_{\nu, \sigma} \rangle_0 = \langle n_{\sigma} \rangle_0$ — числа заполнения спиновых d -состояний на узле в приближениях LDA+U+SO.

Для того чтобы описать ферромагнитное геликоидальное упорядочение, выражение для исходного гамильтониана (2) необходимо дополнить малой поправкой, которая описывает энергию ДМ-взаимодействия. При этом, в силу релятивистской малости ограничимся учетом ДМ-взаимодействия в приближении среднего поля

$$\mathcal{H} \rightarrow \mathcal{H} - \sum_{\mathbf{q}=\mathbf{q}_0} \mathbf{h}_{\mathbf{q}}^{[D]} \mathbf{S}_{-\mathbf{q}}. \quad (3)$$

Здесь: $\mathbf{h}_{\mathbf{q}_0} = [\mathbf{M}_{\mathbf{q}_0} \times \mathbf{d}_{\mathbf{q}_0}]$ — среднее поле Дзялошинского; $\mathbf{d}_{\mathbf{q}_0} = i d \mathbf{q}_0$, $d = (1 - x)d_{\text{Fe}} + x d_{\text{Co}}$ — постоянная Дзялошинского–Мория для сплавов $\text{Fe}_{1-x}\text{Co}_x\text{Si}$, а d_{Fe} и d_{Co} — постоянные Дзялошинского–Мория для железа и кобальта соответственно; $\mathbf{M}_{\mathbf{q}_0} (= \langle \mathbf{S}_{\mathbf{q}_0} \rangle)$ — вектор неоднородной намагниченности на векторе \mathbf{q}_0 .

Статистическую сумму рассматриваемой системы электронов можно представить в виде:

$$Z(x, \mathbf{h}_q) = SpT_\tau \times \exp \left\{ - \int_0^{T^{-1}} d\tau \left(H_0(x) + \delta\mathcal{H}_{\text{int}}(\tau) + \sum_{q \neq 0, \pm q_0} \mathbf{h}_q \mathbf{S}_{-q}(\tau) \right) \right\},$$

где $\mathbf{h}_q = \mathbf{h}\delta_{q,0} + \mathbf{h}_q^{(D)}$, τ — мацубаровское мнимое „время“, изменяющееся от 0 до T^{-1} , T_τ — оператор упорядочения по τ , \mathbf{S}_q — Фурье-образ оператора спиновой плотности на узле ($\mathbf{S}_v(\tau) = \exp(-H_0\tau)\mathbf{S}_v \times \exp(H_0\tau)$), записанного в представлении взаимодействия; $\delta\mathcal{H}_{\text{int}}(\tau) = \exp(-H_0\tau)\delta\mathcal{H}_{\text{int}}\exp(H_0\tau)$. При этом, для восстановления вращательной инвариантности записи гамильтониана Хаббарда введем, аналогично [10,13], единичные по модулю вектора $\mathbf{e}_v(\tau)$, которые в момент мацубаровского „времени“ τ направлены вдоль оси квантования оператора спина на узле \mathbf{v} $\mathbf{S}_v(\tau) = S_v^{(z)}(\tau)\mathbf{e}_v(\tau)$. В результате выражение для статистической суммы сводится к виду

$$Z(x, \mathbf{h}, \mathbf{h}_q^{(D)}) = \int_0^{4\pi} (d\Omega) SpT_\tau \exp \left\{ -H_0(x)/T + \int_0^{T^{-1}} d\tau \sum_v (U_{\text{Fe}} - U_{\text{Co}}) \delta p_v \sum_\sigma \langle n \rangle_\sigma \delta n_v(\tau)/2 - \sum_v (U_{\text{Fe}}(1-p_v) + U_{\text{Co}}p_v) \int_0^{T^{-1}} d\tau [(\mathbf{e}_v(\tau)\mathbf{S}_v(\tau)/2)^2 - (\delta n_v(\tau)/2)^2] + \int_0^{T^{-1}} d\tau \sum_q \mathbf{h}_q \mathbf{S}_{-q}(\tau) \right\}, \quad (4)$$

где $(d\Omega) = \prod_v d\Omega_v$, $d\Omega_v$ — элемент телесного угла направлений единичного вектора $\mathbf{e}_v(\tau)$, $v = (v, \tau)$.

Далее для того чтобы свести многочастичные взаимодействия в (4) (которые соответствуют квадратичным слагаемым по оператору спиновой и зарядовой плотности) к взаимодействию электронов с флуктуирующими обменными (ξ) и зарядовыми (η) полями, используем процедуру преобразований Стратоновича–Хаббарда (см., например, [13]). Тогда выполняя замену переменных интегрирования: $\xi_q \rightarrow \xi_q - \mathbf{h}_q/c$, получим

$$Z(x, \mathbf{h}_q) = \int (d\xi d\eta) (d\Omega) \times \exp \left\{ - \sum_q |\xi_q - \mathbf{h}_q/c|^2 - \sum_q |\eta_q|^2 \right\} Z(x, \xi_q, \rho_q), \quad (5)$$

где

$$Z(x, \xi, \rho) = SpT_\tau \exp(-T^{-1}H_0(x) - T^{-1}\tilde{\mathcal{H}}_{\text{eff}}),$$

$$(d\xi d\eta) = d\xi_0 d\eta_0 \prod_{q \neq 0, j=1,2} d\xi_q^{(j)} d\eta_q^{(j)}$$

(индекс j нумерует реальную и мнимую части стохастических ξ - и η -полей),

$$\tilde{\mathcal{H}}_{\text{eff}} = 2 \sum_q \mathbf{S}_q \xi_{-q} + i \sum_q n_q \rho_{-q}/2, \quad (6)$$

$$\xi_{-q} = c(\xi_{-q}\mathbf{e}_{-q} + (2U)^{-1}(U_{\text{Co}} - U_{\text{Fe}}) \sum_v \delta p_v \xi_v e^{iqv}),$$

$$\rho_{-q} = c(\eta_{-q} - (2U)^{-1}(U_{\text{Co}} - U_{\text{Fe}}) \sum_v \delta p_v \sum_\sigma \langle n_\sigma \rangle_0 e^{iqv}/4),$$

$$c = (UT)^{1/2}, \quad U = (1-x)U_{\text{Fe}} + xU_{\text{Co}}.$$

Отметим, что в исследуемых квазибинарных сплавах зарядовое упорядочение является невозможным, а флуктуации зарядовой плотности ведут к большим флуктуациям энергии, и, следовательно, являются маловероятными. Поэтому, при расчете $Z(x, \xi, \rho)$, слагаемыми, пропорциональными ρ_q с $q \neq 0$, в эффективном гамильтониане $\tilde{\mathcal{H}}_{\text{eff}}$ можно пренебречь.

Исследуя условия максимума статистической суммы, можно получить уравнения магнитного состояния как для области дальнего, так и ближнего магнитного порядка. В рассматриваемой задаче о фазовых переходах в киральных магнетиках с аномально большими периодами магнитной структуры, квантово-статистическое вычисление выражения для функционала свободной энергии $Z(x, \xi, \rho)$ выполняется в приближении однородных локальных полей [13].

Однако для исследования возникающих в исследуемой системе фазовых переходов, целесообразно рассмотреть выражение для функционала свободной энергии, которое в условиях отсутствия спин-флуктуационных перенормировок электронных энергий сводится к функционалу Гинзбурга–Ландау–Бразовского (см. [9] и ссылки в ней), описывающего фазовые первого и второго рода.

3. Функционал свободной энергии

Для определения функционала свободной энергии электронно-спиновой системы, учтем его связь со статистической суммой, определяемую известным соотношением

$$F = -T \ln Z(\mathbf{h}_q). \quad (7)$$

Вычисление функциональных интегралов в (5) осуществляется в приближении седловой точки

$$\partial \ln Z(\xi_q, \rho_q, \langle n_\sigma \rangle_0) / \partial (\text{Re } \xi_q^{(y)}) = 2\text{Re}(\xi_q^{(y)} - \mathbf{h}_q^{(y)}/c),$$

$$\partial \ln Z(\xi_q, \rho_q, \langle n_\sigma \rangle_0) / \partial (\text{Re } \eta_q) = 2\text{Re } \eta_{-q},$$

$$\partial \ln Z(\xi_q, \rho_q, \langle n_\sigma \rangle_0) / \partial (\text{Im } \xi_q^{(y)}) = 2\text{Im}(\xi_q^{(y)} - \mathbf{h}_q^{(y)}/c),$$

$$\partial \ln Z(\xi_q, \rho_q, \langle n_\sigma \rangle_0) / \partial (\text{Im } \eta_q) = 2\text{Im } \eta_{-q},$$

$$\partial \ln Z(\xi_q, \rho_q, \langle n_\sigma \rangle_0) / \partial |\xi_q^{(y)}| = 2|\xi_q^{(y)}| - 1/|\xi_q^{(y)}|,$$

по переменным $\eta_0 \equiv \text{Re } \eta_0$ ($\text{Im } \eta_0 = 0$), $\text{Re } \eta_q$ и $\text{Im } \eta_q$ с $q \neq 0$, $\xi_0^{(y)} \equiv \text{Re } \xi_0^{(y)}$ ($\text{Im } \xi_0^{(y)} = 0$), $\text{Re } \xi_q^{(y)}$ и $\text{Im } \xi_q^{(y)}$

с $\mathbf{q} \neq 0$, $|\xi_q^{(\gamma)}|$ с $q = (\mathbf{q}, \omega_{2n})$ при $\omega_{2n} \neq 0$. При этом можно показать (см. [13]), что получаемые перевальные значения обменных полей связаны с Фурье-образами локальной намагниченности и спиновыми корреляторами соотношениями: $\xi_q^{(\gamma)} = Tc^{-1}M_{\mathbf{q}}^{(\gamma)} + U^{-1}h_{\mathbf{q}}^{(\gamma)}$ и, $|\xi_q^{(\gamma)}|^2 = 2^{-1}(\langle T_{\tau}|S_{\mathbf{q}}^{(\gamma)}|^2 \rangle + 1)$, $\gamma = (x, y, z)$. Тогда, после выполнения в (5) квантово-статистического шпурирования, выражение для свободной энергии рассматриваемых сильно взаимодействующих магнитной и электронной подсистем при конечных температурах запишется в виде

$$F = F_{mag} + F_{el} + F_{fl}, \quad (8)$$

где сильно связанные между собой киральные спиновая и электронная подсистемы с ДМ взаимодействием описываются слагаемыми

$$F_{mag}/U = \sum_{\mathbf{q}} (1 - U\chi^{\perp}) |\mathbf{M}_{\mathbf{q}}|^2 + \sum_{\mathbf{q}} X(\mathbf{q}, 0) |\mathbf{M}_{\mathbf{q}}|^2 + \kappa \sum_{\mathbf{q}_1 \neq \mathbf{q}_2, \mathbf{q}_3 \neq \mathbf{q}_4} (\mathbf{M}_{\mathbf{q}_1} \mathbf{M}_{\mathbf{q}_2}) (\mathbf{M}_{\mathbf{q}_3} \mathbf{M}_{\mathbf{q}_4}) \delta_{\mathbf{q}_1 + \mathbf{q}_2 + \mathbf{q}_3 + \mathbf{q}_4, 0} - U^{-1} \sum_{\mathbf{q}} \mathbf{h}_{\mathbf{q}} \mathbf{M}_{\mathbf{q}}, \quad (9a)$$

$$F_{el}/U = \sum_{\mathbf{q}} \left(U \sum_{\mathbf{q}} \chi^{\perp} |\mathbf{M}_{\mathbf{q}}|^2 + \sum_{\alpha=(\pm 1)} \int g_{\alpha}(\varepsilon, x, M) \times \ln(1 + \exp T^{-1}(\mu - \varepsilon)) d\varepsilon \right), \quad (9b)$$

соответственно, а флуктуационный вклад описывается выражением

$$F_{fl} = \sum_{\mathbf{q}} \int_0^{\infty} \text{cth}(\omega/2T) \times \text{Im} \ln(D^{-1} + 2\kappa |M_{\mathbf{q}, \gamma}|^2 + X(\mathbf{q}, \omega)) d\omega. \quad (9c)$$

Здесь, $g_{\alpha}(\varepsilon, x, m) = g^{(0)}(\varepsilon + \alpha Um, x)$, $g^{(0)}(\varepsilon, x)$ — LDA+U+SO-плотность электронных d -состояний (DOS) твердых растворов $\text{Fe}_{1-x}\text{Co}_x\text{Si}$, $\mathbf{M}_{\mathbf{q}}$ — Фурье локальная намагниченность электронов выражается в единицах $2\mu_B$,

$$D^{-1} = 1 - U\chi_{\perp}(m) + (1 + x(1-x)U^{-1}(U_{\text{Co}} - U_{\text{Fe}}))\kappa(\langle \mathbf{m}^2 \rangle)/3 \quad (10)$$

— фактор обменного усиления однородной магнитной восприимчивости;

$$\kappa = (U/m^2)[\chi_{\perp}(m) - \chi_{\parallel}(m)] \quad (11)$$

— коэффициент межмодовой;

$$\chi_{\parallel} = 2 \left(\sum_{\alpha=\pm 1} g_{\alpha}(\varepsilon, x, \mu) \right)^{-1} \prod_{\alpha=\pm 1} g_{\alpha}(\varepsilon, x, m)$$

и

$$\chi_{\perp} = (2Um)^{-1} \Delta n,$$

причем

$$\Delta n = \sum_{\alpha=\pm 1} \alpha \int_{-\infty}^{\infty} g_{\alpha}(\varepsilon, x, m) f(\varepsilon - \mu) d\varepsilon;$$

$f(\varepsilon - \mu)$ — функция Ферми–Дирака;

$$m^2 = N_0^{-1} \sum_{\nu} \mathbf{M}_{\nu}^2 + \langle \mathbf{m}^2 \rangle_x + \langle \mathbf{m}^2 \rangle \quad (12)$$

— среднеквадратический магнитный момент, приходящийся на узел, включающий в себя средние квадраты амплитуд локальной намагниченности ($N_0^{-1} \sum_{\nu} \mathbf{M}_{\nu}^2$), концентрационных и термодинамических флуктуаций спиновой плотности:

$$\langle \mathbf{m}^2 \rangle_x = U^{-1}(U_{\text{Co}} - U_{\text{Fe}}) N_0^{-1} \sum_{\nu} (\delta p_{\nu} \mathbf{M}_{\nu})^2$$

и

$$\langle \mathbf{m}^2 \rangle = (T/U) \sum_{\mathbf{q}, \gamma, \omega_{2n} (\neq 0)} |\xi_q^{(\gamma)}|^2.$$

Причем можно использовать перевальное уравнение относительно $|\xi_q^{(\gamma)}|^2$ (определяющее квадрат амплитуды динамических спиновых флуктуаций):

$$2|\xi_q^{(\gamma)}|^2 \left(D^{-1} + 2\kappa |M_{\mathbf{q}_0}^{(\gamma)}|^2 + 2\kappa x(1-x)U^{-1}(U_{\text{Co}} - U_{\text{Fe}}) \times \left(|M_{\mathbf{q}_0}^{(\gamma)}|^2 + (M_0^{(\gamma)})^2 \right) + X_{\mathbf{q}} \right) = 1/2.$$

Отметим, что при записи выражение для статистической суммы электронной системы с гамильтонианом (1) вычислялось в приближении однородных локальных полей, в котором пространственно-временные неоднородности спиновой системы, учтены в вершинных частях второго порядка, сводящихся к обобщенной паулиевской восприимчивости. Необходимость такого учета связана с тем, что это позволяет учесть аномально сильную \mathbf{q} -зависимости фактора стонеровского усиления при фазовых переходах в зонных ферромагнетиках. При этом использовалась модель функции Линдхарда (см., например, [13]):

$$X(\mathbf{q}, \omega) = U(\chi^{(0)}(0, 0) - \chi^{(0)}(\mathbf{q}, \omega)) = (A\mathbf{q}^2 - iC\omega\theta(\omega_0 - \omega)/|\mathbf{q}|), \quad (13)$$

где $|\mathbf{q}|$ — в единицах $2k_F$, параметры A и C выражаются через значения DOS и ее производных на энергии Ферми [13] при нормальном давлении, $\omega_0 = 2V_F k_F$, V_F — скорость на поверхности Ферми.

Химический потенциал определяется уравнением электронной нейтральности, вытекающим из условий перевала по зарядовым полям

$$x = \sum_{\alpha} \int f(\varepsilon - \mu) (g_{\alpha}(\varepsilon, x, m) + g^{(sp)}(\varepsilon)) d\varepsilon. \quad (14)$$

4. Уравнение магнитного состояния

Из условий минимума свободной энергии (5) по однородной и неоднородной намагниченности, получаем уравнения магнитного состояния для локальной и неоднородной намагниченностей

$$M_{\mathbf{q}}^{(y)} \left(D^{-1} + \kappa x(1-x)U^{-1}(U_{\text{Co}} - U_{\text{Fe}}) \sum_{\mathbf{q}} |M_{\mathbf{q}}^{(y)}|^2 + X(\mathbf{q}, 0) \right) + \kappa M_{-\mathbf{q}}^{(y)} (\mathbf{M}_{\mathbf{q}})^2 (1 - \delta_{\mathbf{q},0}) \approx h_{\mathbf{q},y}/U, \quad (15)$$

где $\mathbf{M}_{\mathbf{q}_0} (= \mathbf{M}_{-\mathbf{q}_0}^*) = 2^{-1} (\mathbf{i}M_{\mathbf{q}_0}^{(x)} + \mathbf{j}M_{\mathbf{q}_0}^{(y)} + \mathbf{k}M_{\mathbf{q}_0}^{(z)})$, \mathbf{i}, \mathbf{j} и \mathbf{k} — орты декартовой системы координат.

В рассматриваемом случае неупорядоченных сплавов имеем два типа решений уравнения магнитного состояния. Когда параметры межмодового взаимодействия ($\kappa > 0$) и ДМ-взаимодействия положительны, а фактор обменного усиления $D^{-1} < -3d|\mathbf{q}_0|/2$, решения уравнения магнитного состояния (15) соответствуют ферромагнитному геликоиду, в котором вектор амплитуды геликоидальной структуры фиксирован, а его пространственное вращение описывается левой гелимагнитной спиралью

$$\mathbf{M}_{\nu} = \mathbf{i}M_{|\mathbf{q}_0|}^{(x)} \cos(\mathbf{q}_0\nu) + \mathbf{j}M_{|\mathbf{q}_0|}^{(y)} \sin(\mathbf{q}_0\nu).$$

Таким образом, для области дальнего магнитного порядка имеем¹.

1. При условиях: $\kappa > 0$, $d > 0$ и $D^{-1} < -3d|\mathbf{q}_0|/2$ — решения отвечают спиновой спирали левой киральности:

$$M_{\mathbf{q}_0}^{(x)} = M_S, \quad M_{\mathbf{q}_0}^{(y)} = \text{sgn}(\mathbf{q}_0) i M_S, \quad M_{\pm\mathbf{q}_0}^{(z)} = 0, \quad \mathbf{M}_0 = \chi \mathbf{h}. \quad (16a)$$

2. При условиях, когда параметр межмодового взаимодействия оказывается отрицательным: $\kappa < 0$, а $d > 0$ и $D^{-1} < -3d|\mathbf{q}_0|/2$, решение уравнения (15) описывается правой гелимагнитной спиралью ($\mathbf{M}_{\nu} = \mathbf{i}M_{|\mathbf{q}_0|}^{(x)} \sin(\mathbf{q}_0\nu) + \mathbf{j}M_{|\mathbf{q}_0|}^{(y)} \cos(\mathbf{q}_0\nu)$) и реализуется правая магнитная киральность:

$$M_{\mathbf{q}_0}^{(x)} = \text{sgn}(\mathbf{q}_0) i M_S, \quad M_{\mathbf{q}_0}^{(y)} = M_S, \quad M_{\pm\mathbf{q}_0}^{(z)} = 0, \quad \mathbf{M}_0 = \chi \mathbf{h}. \quad (16b)$$

При этом средний модуль локальной неоднородной намагниченности $M_S = N_0^{-1} \sum_{\nu} M_{\nu}^{(y)}$ определяется уравнением

$$M_S = \left(2|\kappa| (1 + x(1-x)U^{-1}(U_{\text{Co}} - U_{\text{Fe}})) \right)^{-1/2} \times \left((D^{-1} + \kappa x(1-x)U^{-1}(U_{\text{Co}} - U_{\text{Fe}}) \mathbf{M}_0^2 + X(\mathbf{q}_0, 0))^2 - (d|\mathbf{q}_0|/U)^2 \right)^{1/4}. \quad (17)$$

¹ При смене знака d , описанные условия реализации левой или правой магнитной киральности меняются на противоположные.

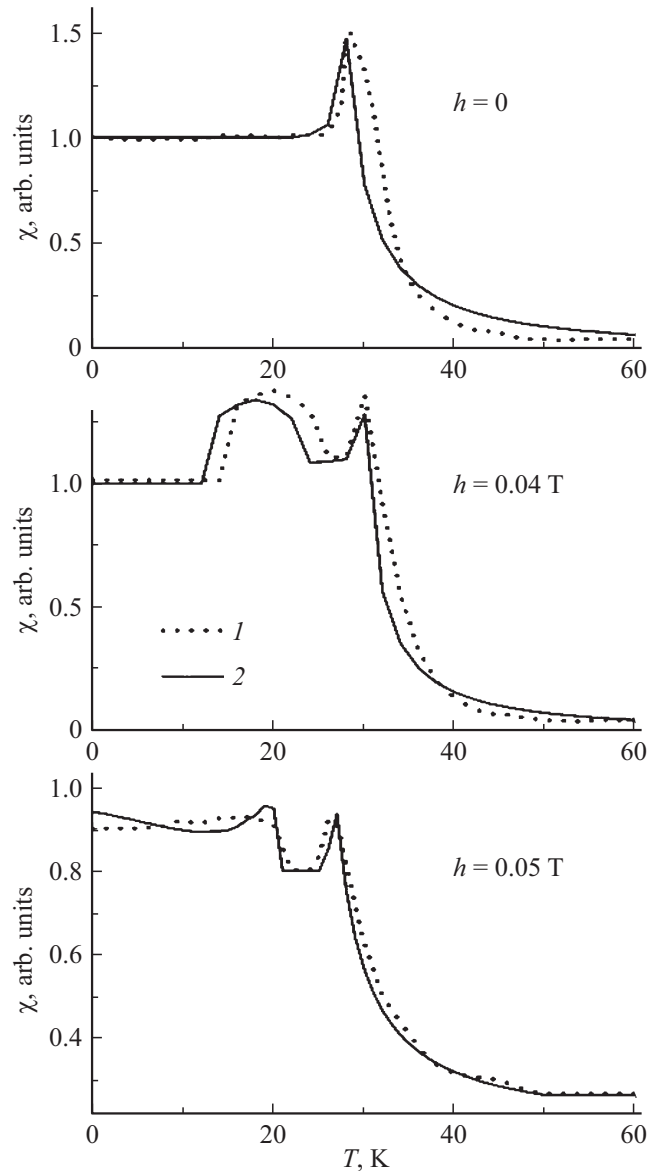


Рис. 2. Температурная зависимость магнитной восприимчивости сплава $\text{Fe}_{0.8}\text{Co}_{0.2}\text{Si}$ при разных значениях внешнего магнитного поля. 1 — экспериментальные данные [9], 2 — расчет в настоящей работе. Параметр $A = 1/12$; параметр $C = 1.3$.

Из (15) следует возможность затянутого по температуре фазового перехода при $\kappa = 0$ и $D^{-1} = -3d|\mathbf{q}_0|/2$ (в точке T_C). При этом в возникающей области ближнего геликоидального порядка вплоть до температуры T_S , определяемой из условия $D^{-1}(T_S) = 0$, сохраняется локальная намагниченность. Согласно (17)

$$T_S^2 = T_C^2 + \left(\frac{U_{\text{Co}}^{1/2} - U_{\text{Fe}}^{1/2}}{2U^{1/2}} \right)^2 \frac{d^2}{UA} x(1-x),$$

причем $D^{-1}(T_C) = -3d|\mathbf{q}_0|/2$.

Аналогично [14] можно показать, что решения для флуктуаций спирали справедливы в области ферромаг-

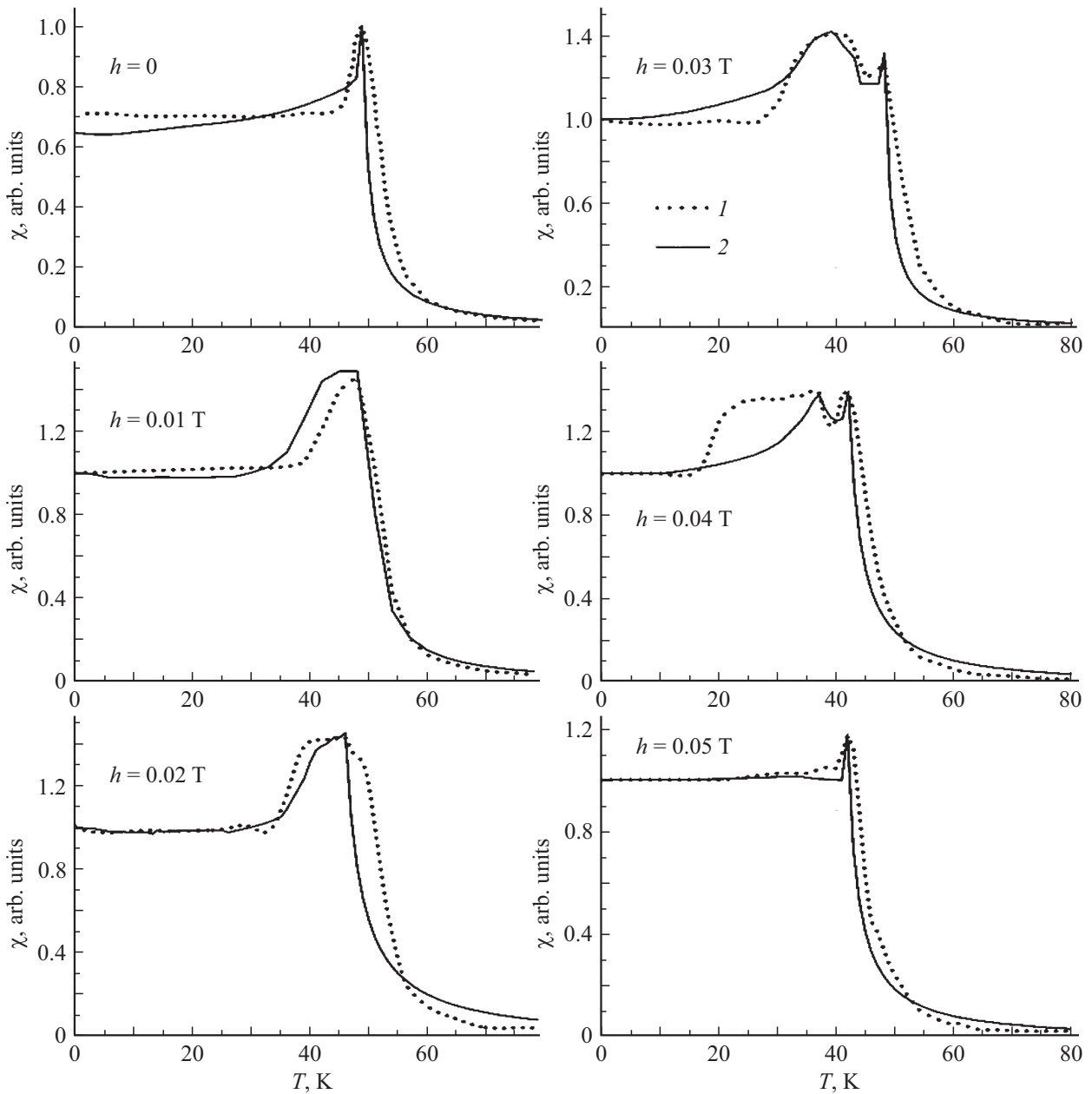


Рис. 3. Температурная зависимость магнитной восприимчивости сплава Fe_{0.7}Co_{0.3}Si при разных значениях внешнего магнитного поля. 1 — экспериментальные данные [16], 2 — расчет в настоящей работе. Параметр $A = 1/12$; параметр $C = 0.95$. Уменьшение параметра C ($\sim \sqrt{m^*/m_0}$) с увеличением концентрации x , связано с уменьшением эффективной массы электронов (m^*) по мере удаления от запрещенной зоны.

нитных спиновых корреляций, радиус которых описывается выражением

$$R_C = k_F^{-1} A^{1/2} \left(|\kappa| (|\mathbf{M}_{|\mathbf{q}_0|}|^2 + \langle m^2 \rangle) \right)^{1/2}.$$

Температура исчезновения решений, описывающих геликоидальный дальний порядок, соответствует температуре максимума однородной магнитной восприимчивости, которая согласно уравнениям (15) имеет вид

$$\chi = 2U^{-1} \left[(X(\mathbf{q}_0, 0) + \kappa (|\mathbf{M}_{|\mathbf{q}_0|}|^2 + \langle m^2 \rangle))^{-1} - 1 \right]. \quad (18)$$

При этом для значений внешнего однородного магнитного поля, определяемых неравенством

$$h^{(z)}(1 + M_S) > d|\mathbf{q}_0|M_S/(4|\kappa|),$$

решения уравнений (15) относительно локальной намагниченности соответствуют скирмионной микроструктуре

$$M_v^{(x)} = M_S \cos(\mathbf{q}'_0 v + \varphi) \quad \text{и} \quad M_v^{(y)} = M_S \sin(\mathbf{q}'_0 v + \varphi), \quad (19a)$$

$$M_v^{(z)} = |M_{\mathbf{q}'_0}^{(z)}| \cos(\mathbf{q}'_0 v + \varphi) + \chi h^{(z)}, \quad (19b)$$

$$|M_{\mathbf{q}'_0}^{(z)}|^2 = (M_0^{(z)} + h^{(z)}/U)^2 - [d|\mathbf{q}_0|M_S/(4U|\kappa|)]^2, \quad (19c)$$

где из-за исчезновения ферромагнитной оси квантования волновой вектор \mathbf{q}'_0 фиксирован только по модулю: $|\mathbf{q}'_0| \equiv |\mathbf{q}_0|$, а фаза φ меняется стохастически. В области ферромагнитных корреляций, значения фазы φ оказываются фиксированными в пределах радиуса корреляций: $R_C \sim \chi^{1/2}$. Полученные решения описывают скирмионные состояния, которым соответствуют изменяющиеся на замкнутой траектории фазы Берри и амплитуды намагниченности. Изменение модуля намагниченности связано с нарушением условия квазигомеоплярности, возникающего при повороте волнового вектора спиновой сверхструктуры.

Модуль волнового вектора геликоидального упорядочения \mathbf{q}_0 определяется условием максимума для модуля вектора амплитуды неоднородной намагниченности. В модели Линдхарда для паулиевской восприимчивости, имеем:

$$|\mathbf{q}_0| \approx d/2UA.$$

5. Анализ эксперимента в модели DOS $\text{Fe}_{1-x}\text{Co}_x\text{Si}$

Для численного анализа полученных выражений были использованы плотности электронных состояний, рассчитанные в методе LDA+U+SO при фиксированных значениях $x = 0.05, 0.1, 0.2, 0.3, 0.4, 0.5, 0.6, 0.65, 0.7$ и 0.8 [10]. При этом ранее в [10] не было учтено, что согласно структурным данным [3] при $x \geq 0.2$ наблюдается изменение знака кристаллографической (атомной) киральности, при котором положения атомов металла и кремния меняются местами. Однако проведенные расчеты, с учетом изменения кристаллографической киральности не привели к сколько-нибудь заметному изменению DOS. Соответствующие результаты представлены на рис. 1. При этом видим, что при $0.2 \leq x < 0.65$ энергия Ферми располагается в области локального минимума DOS (рис. 1). Кроме того, согласно полученным результатам, DOS всех рассматриваемых составов $\text{Fe}_{1-x}\text{Co}_x\text{Si}$ ($x \geq 0$) состоит из двух подзон, разделенных энергетической щелью, а подзона, в которой находится уровень Ферми, формируется синглетными t_{0g} -электронными состояниями.

Используя (11,14) и результаты LDA+U+SO-расчетов можно показать, что при $x = 0.2$ возникает смена знака κ , а в области концентраций с $0.2 \leq x < 0.65$ — резкое усиление концентрационных флуктуаций в области низких температур и тепловых флуктуаций в области магнитного фазового перехода. Действительно, используя (12,13), получаем выражения для среднеквадратических флуктуаций спиновой плотности

$$\langle m^2 \rangle_x = x(1-x)U^{-1}(U_{\text{Co}} - U_{\text{Fe}})(M_S^2 + \mathbf{M}_0^2),$$

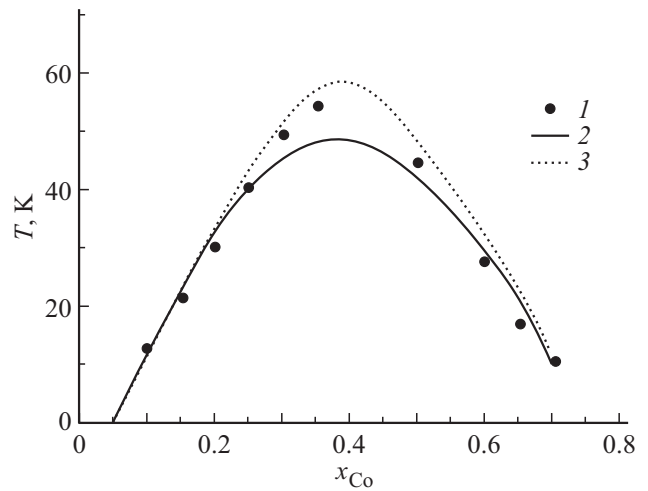


Рис. 4. Концентрационная зависимость характерных температур сплавов $\text{Fe}_{1-x}\text{Co}_x\text{Si}$: 1 — экспериментальные данные по T_S [3]; 2 — критическая температура T_C , рассчитанная в настоящей работе; 3 — температура T_S , полученная в настоящей работе.

$$\langle m^2 \rangle_T = (3/4)C(T/U)^2$$

$$\times \left\{ \left(D^{-1} + 2\kappa M_S^2 + 2\kappa U^{-2}(U\mathbf{M}_0 + \mathbf{h})^2 \right)^2 + A^2/2 \right\}^{-1},$$

где значения параметров функции Линдхарда: A и C , можно определить из сопоставления результатов расчетов магнитной восприимчивости (18) с экспериментальными данными (рис. 2,3) при $\mathbf{h} = 0$. Значения параметров Дзялошинского–Мория, использованные при расчетах, были заимствованы из работы [15].

Учет концентрационных флуктуаций приводит к решениям уравнения магнитного состояния (16) описывающий изменение знака спиновой киральности в области геликоидального ферромагнитного порядка при $x = 0.2$. Геликоидальный ферромагнетизм с правой спиновой киральностью (16) реализуется в области температур меньших температуры Кюри–Нееля при значениях концентрации кобальта: $0.2 \leq x < 0.65$.

Поскольку смена знака κ при температуре равной T_C , согласно (17), не сопровождается исчезновением локального магнитного момента, постольку магнитные фазовые переходы в интервале концентраций $0.2 \leq x < 0.65$ оказываются растянутыми по температуре. При этом в интервале температур от $T_C(x)$ до $T_S(x)$ возникает область геликоидального ближнего порядка с ненулевой локальной намагниченностью (19). Эта область, возникающая между кривыми концентрационных зависимостей $T_C(x)$ и $T_S(x)$, приведена на рис. 4. При $x = 0.65$ параметр d становится равным нулю [3], согласно (15) реализуется переход ферромагнетик–парамагнетик с формированием в парамагнитной области температур ферромагнитного ближнего порядка.

В концентрационных областях: $0.05 < x < 0.2$ и $0.65 \leq x < 0.8$, согласно (15), имеет место темпера-

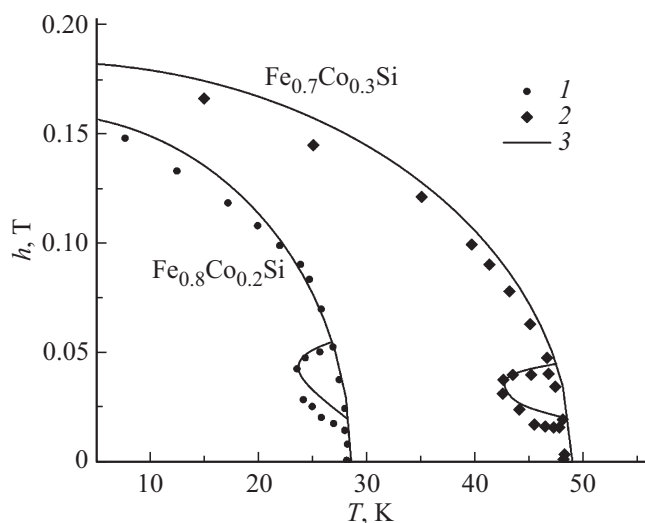


Рис. 5. Фазовая диаграмма сплавов $\text{Fe}_{1-x}\text{Co}_x\text{Si}$ с $x = 0.2, 0.3$: 1 — экспериментальные данные [17]; 2 — экспериментальные данные [16]; 3 — расчет в настоящей работе.

турный фазовый переход второго рода геликоидальный ферромагнетик—парамагнетик, при $T_C (= T_S)$.

Кроме того, мы получаем, что для составов $0.20 \leq x < 0.65$ в интервале температур $T_C(x) < T < T_S(x)$ при ненулевом значении однородного внешнего магнитного поля (направленного вдоль оси $0z$: $h^{(z)} \equiv h$): $h(1 + M_S) > d|q_0|M_S/(4|\kappa|)$ на фазовых ($h-T$)-диаграммах формируются скирмионные „карманы“. Примеры таких фазовых диаграмм представлены на рис. 5.

Границы (h_1 и h_2) этого интервала полей определяются уравнением: $h(1 + M_S(h)) = d|q_0|M_S(h)/(4|\kappa(h)|)$ и отвечают возникновению спиновых конических структур. За температурными границами области существования скирмионной фазы, согласно (15)–(19) реализуются флуктуации спирали, которые наблюдаются при нейтрографических исследованиях [3,17].

6. Заключение

В настоящей работе показано, что в киральных ферромагнетиках на основе квазибинарных сплавов переходных металлов, концентрационные флуктуации магнитных моментов, приводят к концентрационным превращениям, при которых возможна смена знака параметра мода—мода. При этом из уравнений магнитного состояния следует, что при этом возникает концентрационный переход порядок—порядок, сопровождаемый сменой знака спиной киральности. Согласно закону сохранения топологического заряда это означает изменение кристаллографической киральности. Как следует из эксперимента такое изменение должно сопровождаться заполнением частных позиций занимаемых (при $x < 0.2$) кремнием, атомами металла. И наоборот заполнение позиций атомов металл, атомами кремния. Используя

гамильтониан Хаббарда, расширенный учетом различия параметров внутриатомного взаимодействия для железа и кобальта, рассмотрены основные особенности концентрационно-температурных зависимостей магнитных свойств киральных ферромагнетиков $\text{Fe}_{1-x}\text{Co}_x\text{Si}$ с кристаллической структурой B20. Полученные температурные зависимости магнитной восприимчивости при различных концентрациях согласуются с экспериментальными данными в области магнитного фазового перехода первого и второго рода (см. рис. 2, 3). При этом получено, что во внешнем магнитном поле возникает провал на температурных зависимостях магнитной восприимчивости, а уравнение магнитного состояния имеет скирмионные решения. Расчеты описывают возникновение скирмионных фаз на $h-T$ -диаграммах и указывают на то, что скирмионные состояния возникают в интервале от 0.2 до 0.65 концентраций моносилицида кобальта в $\text{Fe}_{1-x}\text{Co}_x\text{Si}$.

При $x = 0.65$ параметр мода—мода становится равным нулю, причем как указано в [3], ДМ-взаимодействие исчезает. Поскольку причины резкого обнуления параметра ДМ-взаимодействия окончательно не выяснены, остается открытым вопрос о природе геликоидального порядка при $x > 0.65$.

Финансирование работы

Результаты были получены в рамках задания министерства образования и науки Российской Федерации FEUZ-2020-0020.

Конфликт интересов

Авторы заявляют, что у них нет конфликта интересов.

Список литературы

- [1] J. Beille, J. Voiron, F. Towfiq, M. Roth, Z.Y. Zhang. *J. Phys. F* **11**, 2153 (1981).
- [2] С.В. Григорьев, В.А. Дядькин, С.В. Малеев, D. Menzel, J. Schoenes, D. Lamago, Е.В. Москвин, Н. Eckerlebe. *ФТТ* **52**, 852 (2010).
- [3] S.-A. Siegfried, E.V. Altynbaev, N.M. Chubova, V. Dyadkin, D. Chernyshov, E.V. Moskvina, D. Menzel, A. Heinemann, A. Schreyer, S.V. Grigoriev. *Phys. Rev. B* **91**, 184406 (2015).
- [4] J. Gayles, F. Freimuth, T. Schena, G. Lani, P. Mavropoulos, R. Duine, S. Blugel, J. Sinova, Y. Mokrousov. arXiv:1503.04842v1 [cond-mat.mtrl-sci].
- [5] А.А. Повзнер, А.Г. Волков, Т.М. Нуретдинов. *ФТТ* **62**, 776 (2020).
- [6] Y. Onose, N. Takeshita, C. Terakura, H. Takagi, Y. Tokura. *Phys. Rev. B* **72**, 224431 (2005).
- [7] E. Altynbaev, S.-A. Siegfried, E. Moskvina, D. Menzel, C. Dewhurst, A. Heinemann, A. Feoktystov, L. Fomicheva, A. Tsvyashchenko, S. Grigoriev. *Phys. Rev. B* **94**, 174403 (2016).
- [8] G.J. Li, E.K. Liu, H.G. Zhang, Y.J. Zhang, J.L. Chen, W.H. Wang, H.W. Zhang, G.H. Wu, S.Y. Yu. arXiv:1211.6815v1 [cond-mat.mtrl-sci].

- [9] A. Bauer, M. Garst, C. Pfleiderer. Phys. Rev. B **93**, 235144 (2016).
- [10] А.А. Повзнер, А.Г. Волков, Т.А. Ноговицына, С.А. Бессонов. ФТТ **62**, 71 (2020).
- [11] И.Е. Дзялошинский, П.С. Кондратенко. ЖЭТФ **70**, 1987 (1976). [I.E. Dzyaloshinskii, P.S. Kondratenko, Sov. Phys. JETP **43**, 1036 (1976)].
- [12] J. Hubbard. Proc. Roy. Soc. A **276**, 238 (1963).
- [13] Т. Мориya. Spin Fluctuations in Itinerant Electron Magnetism, Springer-Verlag, Berlin (1985).
- [14] А.А. Повзнер, А.Г. Волков, Т.М. Нуретдинов, Т.А. Ноговицына. ФТТ **60**, 1882 (2018).
- [15] А.А. Повзнер, А.Г. Волков, Т.А. Ноговицына. ФТТ **60**, 227 (2018).
- [16] T.Y. Ou-Yang, G.J. Shu, C.D. Hu, F.C. Chou. J. Appl. Phys. **117**, 123903 (2015).
- [17] L.J. Bannenberg, K. Kakurai, F. Qian, E. Lelievre-Berna, C.D. Dewhurst, Y. Onose, Y. Endoh, Y. Tokura, C. Pappas. Phys. Rev. B **94**, 104406 (2016).

Редактор Ю.Э. Китаев